



⑯ BUNDESREPUBLIK
DEUTSCHLAND



DEUTSCHES
PATENT- UND
MARKENAMT

⑯ Offenlegungsschrift
⑯ DE 100 44 199 A 1

⑯ Int. Cl. 7:
H 01 J 37/147
H 01 J 37/141
H 01 J 37/317

⑯ Aktenzeichen: 100 44 199.8
⑯ Anmeldetag: 7. 9. 2000
⑯ Offenlegungstag: 6. 6. 2002

DE 100 44 199 A 1

⑯ Anmelder:
Carl Zeiss, 89518 Heidenheim, DE
⑯ Vertreter:
Diehl, Glaeser, Hiltl & Partner, 80333 München

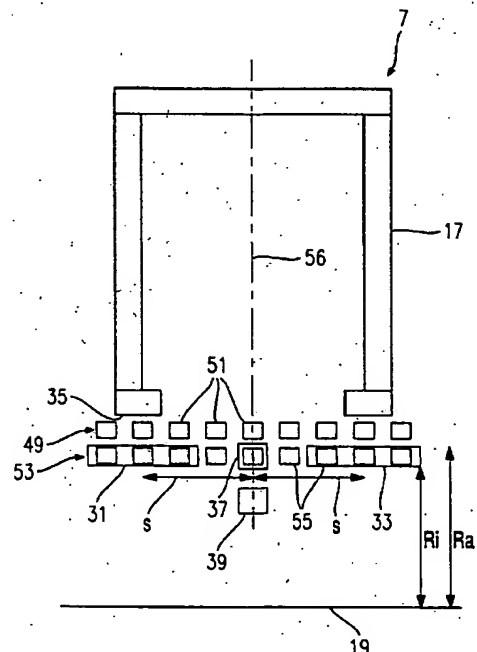
⑯ Erfinder:
Kienzle, Oliver, Dr., 73430 Aalen, DE; Weigand, Holger, Dr., 73447 Oberkochen, DE
⑯ Entgegenhaltungen:
US 60 64 071 A
US 55 45 920 A
US 52 64 706 A
US 43 76 249
EP 9 69 326 A2
Optik 48 (1977) S. 255 ff (E. Goto, T. Soma);

Die folgenden Angaben sind den vom Anmelder eingereichten Unterlagen entnommen

Prüfungsantrag gem. § 44 PatG ist gestellt

⑯ Teilchenoptische Komponente und System mit Teilchenoptischer Komponente

⑯ Es wird eine Magnetlensanordnung zur Bereitstellung eines magnetischen Ablenfelds für einen Strahl geladener Teilchen vorgeschlagen, welche eine Fokussierlinseneinrichtung (17) zur Bereitstellung eines zu einer Symmetrieachse (19) der Anordnung im Wesentlichen rotationssymmetrischen Magnetfelds, welches auf den dieses Magnetfeld durchsetzenden Strahl die Wirkung einer fokussierenden Linse (7) mit einer optischen Achse hat, und eine Achsverlagerungseinrichtung (31, 33) zur Bereitstellung eines dem von der Fokussierlinseneinrichtung (17) bereitgestellten Magnetfeld überlagerbarer Korrektur-Magnetfelds mit einer Wirkung auf den Strahl, derart, dass die optische Achse parallel zu der Symmetrieachse (19) der Anordnung verlagerbar ist. Die Magnetlensanordnung zeichnet sich dadurch aus, dass die Achsverlagerungseinrichtung (31, 33) einen ersten Satz (53) von konzentrisch zu der Symmetrieachse (19) und mit axialem Abstand voneinander angeordneten Ringen (55) aus einem elektrisch im Wesentlichen nichtleitenden Material hoher magnetischer Permeabilität umfasst, wobei wenigstens eine Achsverlagerungswicklung (31, 33) mit einer Mehrzahl von Stromleiterwindungen zur Erzeugung eines Korrektur-Magnetfelds vorgesehen ist, und wobei die Stromleiterwindungen der Achsverlagerungswicklung wenigstens einen der Ringe (55) des ersten Ringsatzes (53) umgreifen.



Beschreibung

[0001] Die Erfindung betrifft eine teiloptische Komponente, welche einen Strahl geladener Teilchen abbildet oder ablenkt, und ein System, welches eine solche teilchenoptische Komponente umfasst.

[0002] Insbesondere betrifft die Erfindung eine Magnetlinsenanordnung, deren optische Achse bezüglich einer geometrischen Symmetrieachse der Anordnung verlagerbar ist. Ferner betrifft die Erfindung insbesondere ein Projektionssystem zur Übertragung eines auf einer Maske definierten Musters mittels eines Strahls geladener Teilchen auf ein teilchenempfindliches Substrat, insbesondere ein Elektronenstrahl-Projektionslithografiesystem.

[0003] Aus dem Stand der Technik sind Magnetlinsenkonfigurationen bekannt, welche auf geladene Teilchen einer gegebenen Energie wie eine Linse mit einer Brennweite f wirken. D. h., mit einer solchen Magnetlinse kann ein paralleler Teilchenstrahl in einer mit einem Abstand f von der Linse angeordneten Bildebene fokussiert werden. Für zentral durch eine Symmetrieachse der Magnetlinse verlaufende Strahlenbündel ist hierbei die Abbildungsqualität relativ gut. Verläuft ein abzubildendes Strahlenbündel allerdings dezentral durch die Magnetlinse, werden für bestimmte Anwendungen in der Praxis zu große Aberrationen bei der Abbildung in die Bildebene erzeugt.

[0004] In dem Artikel "MOL (Moving Objective Lens)" Optik 48 (1977), Seiten 255 ff. von E. Goto et al. wird vorgeschlagen, die optische Achse der Linse durch ein Korrekturmagnetfeld aus der Symmetrieachse der Linse derart herauszuverlagern, dass sie mit dem dezentralen Teilchenstrahl zusammenfällt.

[0005] Aus US 4 376 249 ist eine konkrete Realisierung für eine solche von E. Goto vorgeschlagene Linse offenbart und wird dort als "Variable Axis Lens" bezeichnet. Die dort offenbare Magnetlinse weist zwei bezüglich einer geometrischen Symmetrieachse der Linse mit axialem Abstand voneinander angeordnete und zur Symmetrieachse nach radial innen hinweisende Polenden auf. Radial innerhalb dieser Polenden ist jeweils eine Magnetanordnung zur Erzeugung eines Magnetfelds derart vorgesehen, dass die optische Achse aus der Symmetrieachse heraus verlagerbar ist. Längen und Durchmesser von zugehörigen Spulen sind so bemessen, dass diese ein Magnetfeld transversal zur Symmetrieachse von einer Größe erzeugen, welche proportional zur ersten Ableitung der Axialkomponente des Magnetfelds der Linse entlang der Symmetrieachse ist.

[0006] Es hat sich gezeigt, dass die aus US 4 376 249 bekannte herkömmliche Anordnung bei gewissen Anwendungen nicht die erforderliche Präzision aufweist.

[0007] Aus EP 0 969 326 A2, deren Inhalt durch Inbezugnahme hier voll umfänglich in die Beschreibung einbezogen wird, ist ein Lithografiegerät bekannt, welches ein auf einer Maske definiertes Muster mittels eines Elektronen-Projektionssystems auf ein strahlungsempfindliches Substrat überträgt. Hierbei wird die Maske mittels eines Elektronenstrahls eines wohldefinierten Strahlquerschnitts streifenweise abgetastet, wobei ein die Maske ungestreut durchsetzender Teil des Strahls auf das Substrat ebenfalls streifenweise abgebildet wird. Um eine ausreichende Belichtungsqualität zu gewährleisten, ist es notwendig, dass der Strahlquerschnitt in der Maskenebene mit einer ausreichenden Genauigkeit definiert ist. Ist dies nicht der Fall, resultiert daraus eine stellenweise Unter- oder Überbelichtung auf dem Substrat.

[0008] Es hat sich gezeigt, dass aus dem Stand der Technik bekannte Vorrichtungen diesbezüglich Verbesserungsbedarf aufweisen.

[0009] Es ist eine Aufgabe der vorliegenden Erfindung, eine Magnetlinsenanordnung vorzuschlagen, welche bezüglich einer Symmetrieachse der Anordnung versetzte Strahlen geladener Teilchen mit erhöhter Präzision handhaben kann.

[0010] Insbesondere ist es eine Aufgabe der Erfindung, eine Magnetlinsenanordnung vorzuschlagen, deren optische Achse aus deren Symmetrieachse heraus verlagerbar ist.

[0011] Ferner ist es eine Aufgabe der Erfindung, eine Ablenkanordnung vorzuschlagen, um einen Strahl geladener Teilchen in Strahlrichtung seitlich zu versetzen bzw. einen seitlich versetzten Strahl zu handhaben.

[0012] Eine weitere Aufgabe der Erfindung ist es, ein Projektionssystem zur Übertragung eines auf einer Maske definierten Musters mittels eines Strahls geladener Teilchen auf ein strahlungsempfindliches Substrat vorzuschlagen.

[0013] Gemäß einem ersten Aspekt betrifft die Erfindung eine Ablenkanordnung für einen Strahl geladener Teilchen derart, dass ein Strahlquerschnitt von einer Objektebene der Anordnung in eine Bildebene übertragen wird, wobei in Projektion in Strahlrichtung die Strahlquerschnitte in Objektebene und Bildebene quer zur Strahlrichtung relativ zueinander verlagerbar sind.

[0014] Hierzu umfasst die Ablenkanordnung ein Magnetlinsen-Doppellett aus zwei Magnetlinsen. Hierbei sind die beiden Magnetlinsen relativ zueinander derart angeordnet, dass ein Objekt, wenn es in einer vorderen Fokalebene der ersten Linse, welche auch Kollimatorlinse genannt wird, angeordnet ist, nach unendlich abgebildet wird. Die auch Projektionslinse genannte zweite Magnetlinse ist derart angeordnet, dass ihre vordere Fokalebene mit der hinteren Fokalebene der ersten Magnetlinse zusammenfällt. Die zweite Magnetlinse fokussiert deshalb den von der ersten Magnetlinse kollimierten Strahl in deren hintere Fokalebene, welche somit die Bildebene für das Doppellett ist. Eine Vergrößerung des Magnetlinsen-Doppellets ist durch das Verhältnis der Fokallängen f_1 und f_2 der ersten bzw. zweiten Magnetlinse gegeben. Ferner entspricht der Abstand zwischen Objekt und Bildebene dem Doppelten der Summe der beiden Fokallängen f_1 und f_2 .

[0015] Die beiden Magnetlinsen sind bezüglich einer Symmetrieebene "symmetrisch", welche von der Objektebene einen Abstand aufweist, der der doppelten Brennweite der ersten Magnetlinse entspricht, und welche von der Bildebene einen Abstand aufweist, der der doppelten Fokallänge der zweiten Magnetlinse entspricht. Die beiden Magnetlinsen sind zu der Symmetrieebene nicht in strengem mathematischen Sinn symmetrisch, sondern in Bezug auf einen Strahlengang durch die Linsen, und zwar unter Berücksichtigung der Vergrößerung. So skalieren die Größen der Linsen beispielsweise mit deren Fokallängen. Ströme bzw. Magnetfelder durch deren Spulen wiederum sind vom Betrag her gleich und insbesondere erzeugen diese Ströme entgegengesetzt gerichtete Magnetfelder, was dann als "antisymmetrisches Doppellett" bezeichnet wird.

[0016] Erfindungsgemäß ist zwischen der ersten und der zweiten Magnetlinse eine Strahlverlagerungsanordnung vorgesehen, die ein solches Magnetfeld bereitstellt, dass ein in die Strahlverlagerungsanordnung eintretender Strahl aus der Strahlverlagerungsanordnung zu seiner ursprünglichen Strahlrichtung parallel versetzt wieder austritt.

[0017] Diese Strahlverlagerungsanordnung ist vorzugsweise im mathematischen Sinne symmetrisch zu der Symmetrieebene des Doublets angeordnet, wobei Komponenten der Strahlverlagerungsanordnung bezüglich dieser Symmetrieebene ebenfalls geometrisch symmetrisch angeordnet sind. Diese bevorzugte Plazierung der Strahlverlagerungsanordnung im Bereich der Symmetrieebene des Doublets

[0018] Es ist eine Aufgabe der vorliegenden Erfindung, eine Strahlverlagerungsanordnung vorzuschlagen, welche bezüglich einer Symmetrieebene des Doublets angeordnet ist, wobei Komponenten der Strahlverlagerungsanordnung bezüglich dieser Symmetrieebene ebenfalls geometrisch symmetrisch angeordnet sind. Diese bevorzugte Plazierung der Strahlverlagerungsanordnung im Bereich der Symmetrieebene des Doublets

führt dazu, dass sämtliche das Doublett durchsetzende Teilstrahlen im Wesentlichen den gleichen lateralen Versatz erfahren, da das Doublett in der Symmetrieebene einen Kreuzungspunkt (englisch: "Crossover") aufweist.

[0018] Durch die im Bereich der Symmetrieebene vorge-
sehe Strahlverlagerungsanordnung ist das Magnetlinsen-
Doublett in der Lage, Strahlen zu handhaben, welche bezüg-
lich einer (geometrischen) Symmetrieebene der Magnetlin-
sen einen Versatz aufweisen. So können beispielsweise be-
züglich der Symmetrieebene versetzt in die Strahlverlagerungs-
anordnung eintretende Strahlen auf die Symmetrieebene
zurückgeführt werden, es können auf der Symmetrieebene
in die Strahlverlagerungsanordnung eintretende Strahlen
versetzt zur Symmetrieebene aus der Strahlverlagerungs-
anordnung austreten und von der zweiten Linse des
Doublets weiter abgebildet werden, oder es können versetzt
in die Strahlverlagerungsanordnung eintretende Strahlen mit
gleichem oder anderem Versatz wieder aus der Strahlverlagerungsanordnung austreten.

[0019] Soll beispielsweise ein Strahl bezüglich der Symmetrieebene versetzt aus der Ablenkanordnung austreten und durch die zweite Magnetlinse möglichst aberrationsfrei abgebildet werden, so weist diese zweite Fokussierlinse vor-
zugsweise eine Eigenschaft auf, welche im Stand der Tech-
nik als "Moving Objective Lens" oder "Variable Axis Lens"
bezeichnet wird. Insbesondere weist die zweite Magnetlinse dabei eine Achsversatzeinrichtung auf, welche ein Korrek-
tur-Magnetfeld bereitstellt, welches dem von der Magnetlinse des Doublets erzeugten fokussierenden Magnetfeld überlagerbar ist. Die Wirkung des überlagerten Magnetfelds auf den versetzten Strahl ist hierbei derart, dass auch die optische Achse der fokussierenden Magnetlinse parallel zu der Symmetrieebene verlagert ist.

[0020] Soll das Doublett auch Strahlen handhaben, welche zu der Symmetrieebene versetzt in die Ablenkanordnung eintreten, so weist vorzugsweise auch die erste Linse des Doublets eine solche Achsverlagerungseinrichtung auf.

[0021] Die Ablenkanordnung ist vorzugsweise Teil eines Projektionssystems zur Übertragung eines auf einer Maske definierten Musters mittels eines Strahls geladener Teilchen auf ein strahlungsempfindliches Substrat. Ein solches Projektionssystem umfasst eine Quelle geladener Teilchen, eine Strahlformungsblende zur Formung eines Querschnitts des Teilchenstrahls, eine erste teilchenoptische Abbildungsvorrichtung zum Abbilden der Strahlformungsblende auf die Maske und eine zweite teilchenoptische Abbildungsvorrichtung zum Abbilden der Maske auf das Substrat. Hierbei umfasst vorzugsweise die erste teilchenoptische Abbildungsvorrichtung die erfindungsgemäße Ablenkanordnung, wo-
bei die Strahlformungsblende in der Objektebene und die Maske in der Bildebene des Magnetlinsen-Doublets angeordnet ist. Hierdurch ist es möglich, den durch die Strahlformungsblende definierten Strahlquerschnitt mit erhöhter Kantenschärfe, d. h. einem steilen Übergang von hoher Teilchenintensität innerhalb des Strahlquerschnitts zu einer Teilchenintensität von null außerhalb des Strahlquerschnitts zu schaffen.

[0022] Gemäß einem zweiten Aspekt betrifft die Erfin-
dung eine Magnetlinsenanordnung, welche im Stand der Tech-
nik als "Moving Objective Lens" bzw. als "Variable Axis Lens"
bezeichnet wird. Eine solche Magnetlinsenanordnung umfasst insbesondere eine Fokussierlinseneinrich-
tung zur Bereitstellung eines zu einer Symmetrieebene der Anordnung im Wesentlichen rotationssymmetrischen Magnetfelds, welches auf dem dieses Magnetfeld durchsetzen-
den Strahl die Wirkung einer fokussierenden Linse mit einer optischen Achse hat, und die Magnetlinsenanordnung um-

fasst ferner vorzugsweise eine Achsverlagerungseinrichtung zur Erzeugung eines dem von der Fokussierlinseneinrich-
tung bereitgestellten Magnetfeld überlagerbaren Korrekturmagnetfelds mit einer Wirkung auf den Strahl derart, dass

5 die optische Achse parallel zu der Symmetrieebene der An-
ordnung verlagerbar ist. Hierdurch erfährt ein zu der (geo-
metrischen) Symmetrieebene der Linse versetzt in diese ein-
tretender Teilchenstrahl eine Fokussierwirkung wie ein zen-
tral in die Linse eintretender Teilchenstrahl, weshalb Aberra-
tionen auf Grund des dezentralen Eintritts in die Linse, weitgehend unterdrückt sind.

[0023] Erfnungsgemäß wird das Korrekturmagnetfeld durch eine Achsverlagerungswicklung bereitgestellt, welche eine Mehrzahl von Stromleiterwindungen umfasst, die innerhalb des Magnetfelds der Fokussierlinseneinrichtung angeordnet sind. Hierbei ist es wesentlich, dass sich bei zeitlicher Änderung der Achsverlagerung ebenfalls zeitlich ändernde Korrekturmagnetfeld das fokussierende Magnetfeld der Fokussierlinseneinrichtung nicht stört. Dies wird dadurch erreicht, dass innerhalb des Magnetfelds der Fokussierlinseneinrichtung ein erster Satz von konzentrisch zu der Symmetrieebene und mit axialem Abstand voneinander angeordneten Ringen aus einem elektrisch im Wesentlichen nicht leitenden Material hoher magnetischer Permeabilität angeordnet ist. Die Permeabilitätszahl μ_r dieses Materials ist vorzugsweise größer als 10, insbesondere größer als 100 und weiter bevorzugt größer als 1000. Der elektrische Widerstand des Materials beträgt vorzugsweise mehr als $10^3 \Omega/m$, vorzugsweise mehr als $10^6 \Omega/m$ und weiter bevorzugt mehr als $10^{10} \Omega/m$.

[0024] Vorzugsweise weisen die Ringe des ersten Satzes im wesentlichen gleiche Durchmesser auf und sind vorzugsweise auch mit gleichen Abständen voneinander angeordnet.

35 [0025] Der Satz Ringe aus hochpermeablem Material ist für radialsymmetrische und axialsymmetrische Magnetfeldkomponenten so weit transparent, dass das fokussierende Magnetfeld der Fokussierlinseneinrichtung innerhalb der Ringe an den Orten, die der Teilchenstrahl durchsetzt, mit 40 hoher Qualität bereitgestellt ist. Die Stromleiterwindungen der Achsverlagerungswicklung umgreifen dabei jeweils einen Ring oder eine Mehrzahl von Ringen des Ringsatzes, wobei wiederum die hohe magnetische Permeabilität der Ringe dazu beiträgt, bei begrenzten Strömen in der Achsverlagerungswicklung ein Korrekturmagnetfeld ausreichender Größe zu erzielen.

[0026] Vorzugsweise umgreifen die Stromleiterwindungen der Achsverlagerungswicklung zwei oder drei oder mehr der Ringe.

50 [0027] Das Korrekturmagnetfeld ist vorzugsweise ein quer zur Symmetrieebene orientiertes magnetisches Dipolfeld, dessen zur Symmetrieebene transversale Komponente entlang der Symmetrieebene einen Verlauf aufweist, der angenähert proportional zu der ersten Ableitung der zur Symmetrieebene parallelen Komponente des Magnetfelds der Fokussierlinseneinrichtung ist. Ein solcher Feldverlauf des Korrekturmagnetfelds kann durch geeignete Dimensionierung der Ringe und der Achsverlagerungswicklung erreicht werden.

60 [0028] Vorzugsweise umfasst die Fokussierlinseneinrich-
tung zwei mit axialem Abstand voneinander angeordnete und zur Symmetrieebene radial hinweisende Polenden. Hierbei ist einem jeden Polende zugeordnet wenigstens eine radial innerhalb desselben angeordnete Achsverlagerungs-
wicklung vorgesehen. Vorzugsweise ist einem jeden Po-
lende eine einzige Achsverlagerungswicklung zugeordnet.

[0029] Vorzugsweise ist radial außerhalb der Ringe des ersten Ringsatzes ein zweiter Satz von Ringen aus elektri-

schem, im Wesentlichen nicht leitendem Material hoher magnetischer Permeabilität vorgesehen. Auch die Ringe des zweiten Ringsatzes sind konzentrisch zu der Symmetrieachse und mit axialem Abstand voneinander angeordnet. Die Ringe des zweiten Satzes dienen dazu, das von der Achsverlagerungswicklung erzeugte Korrekturmagnetfeld nach radial außen abzuschirmen, so dass dieses im Wesentlichen nicht auf die Fokussierlinseneinrichtung einwirken kann. Insbesondere wird hierdurch vermieden, dass ein von der Achsverlagerungswicklung erzeugtes Magnetfeld Wirbelströme in der Fokussierlinseneinrichtung induziert. Die Ringe des zweiten Ringsatzes sind aus dem gleichen oder einem ähnlichen Material gefertigt wie die Ringe des ersten Ringsatzes.

[0030] Die Magnetlinsenanordnung umfasst vorzugsweise eine Stigmatorwicklung zur Korrektur von Abbildungsfehlern, wobei Stromleiterwindungen der Stigmatorwicklung ebenfalls auf Ringe vorzugsweise des ersten Ringsatzes gewickelt sind. Die Stigmatorwicklung stellt ein magnetisches Quadrupolfeld bereit, dessen Wirkung auf die Fokussierlinseneinrichtung vorzugsweise ebenfalls durch radial außerhalb der Stigmatorwicklung angeordnete Ringe des zweiten Ringsatzes verringert wird.

[0031] Ferner umfasst die Magnetlinsenanordnung dynamische Fokusspulen mit Windungen, die die Symmetrieachse umgreifen. Diese Windungen sind vorzugsweise radial innerhalb der Stromleiterwindungen der Stigmatorwicklung oder/und radial innerhalb der Ringe des ersten Ringsatzes angeordnet.

[0032] Die Erfindung wird nachfolgend anhand von Ausführungsbeispielen erläutert. Hierbei zeigt:

[0033] Fig. 1 einen schematischen Aufbau einer erfindungsgemäßen Ablenkanordnung sowie einen schematischen Strahlengang hierdurch,

[0034] Fig. 2 eine schematische Darstellung einer in der Ablenkanordnung der Fig. 1 enthaltenen Magnetlinsenanordnung,

[0035] Fig. 3a, 3b, 3c verschiedene Wicklungstypen einer in Fig. 2 gezeigten Achsverlagerungseinrichtung,

[0036] Fig. 4a, 4b, 4c eine Anordnung von Stromleiterwindungen der in Fig. 2 gezeigten Achsverlagerungswicklung am Umfang von Ferritringen,

[0037] Fig. 5 eine grafische Darstellung eines Verlaufs einer Axialkomponente eines durch eine Fokussierlinse der Ablenkanordnung der Fig. 1 erzeugten Magnetfelds,

[0038] Fig. 6 ein Funktionsschaltbild zur Ansteuerung der verschiedenen Wicklungen der Ablenkanordnung der Fig. 1,

[0039] Fig. 7 eine weitere schematische Darstellung der in Fig. 1 gezeigten Ablenkanordnung mit einer Darstellung der Beleuchtung einer Strahlformungsblende und

[0040] Fig. 8 eine schematische Detaildarstellung einer zwischen Magnetlinsen der Fig. 1 angeordneten Strahlverlagerungsanordnung und

[0041] Fig. 9 einen schematischen Aufbau einer weiteren Ausführungsform der erfindungsgemäßen Ablenkanordnung sowie einen schematischen Strahlengang hierdurch.

[0042] Fig. 1 zeigt eine erfindungsgemäße Ablenkanordnung 1. Diese umfasst ein Magnetlinsen-Doublott 3 mit zwei Magnetlinsen 5 und 7, welche für Elektronen einer Energie von 100 keV jeweils eine Brennweite f von 180 mm aufweisen. Das Magnetlinsendoublott 3 dient zur Abbildung einer in einer Objektebene 9 des Doublets 3 angeordneten Strahlformungsblende 11 auf eine in einer Bildebene 13 des Doublets 3 angeordnete Maske 15. Hierbei definiert die Strahlformungsblende 11 auf der Maske 15 ein scharf umrisstes beleuchtetes Feld 16. Jede der Magnetlinsen 5 und 7 umfasst eine Wicklung 15 und Polschuhe 17, um jeweils

ein fokussierendes Magnetfeld mit der Brennweite f bereitzustellen. Der Bohrungsdurchmesser der Pole beträgt 80 mm und der Polschuhspalt 40 mm.

[0043] Die Magnetlinsen 5 und 7 sind jeweils symmetrisch zu einer Symmetrieebene 19 des Doublets 3 und mit einem Abstand von 2 f voneinander angeordnet. Die Strahlformungsblende 11 ist mit ihrem Zentrum ebenfalls auf der Symmetrieachse 19 angeordnet.

[0044] Der Verlauf der in Richtung der Symmetrieachse 19 gerichteten Axialkomponente B_z des durch die Linsen 5 und 7 erzeugten Magnetfelds ist in Fig. 5 in willkürlichen Einheiten dargestellt. Der Verlauf des Feldes ist dabei derart, dass in einer Symmetrieebene 21 des Doublets 3 für einen das Doublett durchsetzenden Elektronenstrahl ein Crossover-Punkt 23 gebildet ist (antisymmetrisches Doublett).

[0045] Im Bereich der Symmetrieebene 21 ist ferner eine Ablenleinrichtung 25 angeordnet, welche einen die Linse 5 zentral durchsetzenden Elektronenstrahl um einen Betrag M lateral zu der Symmetrieachse 19 versetzt. Der durch die Ablenleinrichtung 25 um den Betrag M von der Symmetrieachse 19 versetzte Teilchenstrahl 27 tritt damit dezentral in die Linse 7 des Doublets 3 ein, wobei sein Versatz um den Betrag M von der Symmetrieachse 19 beibehalten wird, so dass er ebenfalls um den Betrag M versetzt auf die Maske 15 trifft. Gleichwohl wird der Strahl 27 allerdings durch die Linse 7 auf die Bildebene 13 fokussiert. Das für diesen Zweck erforderliche Magnetfeld wird dadurch bereitgestellt, dass dem fokussierenden Feld der Linse 7, welches durch die Spule 15 und die Polschuhe 17 bereitgestellt wird, ein Korrekturmagnetfeld überlagert wird, welches durch eine Achsverlagerungseinrichtung 29 erzeugt wird. Die Achsverlagerungseinrichtung 29 umfasst zwei Ablenkwicklungen 31 und 33, welche jeweils radial innerhalb von nach radial innen zur Symmetrieachse 19 hinweisenden Enden 35 des Polschuhs 17 der Linse 7 angeordnet sind.

[0046] Die Ablenkwicklungen 31 und 33 stellen hierbei ein transversal zur Symmetrieachse 19 gerichtetes Magnetfeld bereit, dessen Größe proportional zur ersten Ableitung der in Fig. 5 gezeigten Axialkomponente des durch die Linse 7 erzeugten Magnetfelds ist. Ein solcher Verlauf des Korrekturmagnetfelds ist durch geeignete Wahl der Geometrie für die Ablenkspulen 31 und 33 möglich.

[0047] Das Korrektur-Magnetfeld ist ferner proportional zu der Größe des durch die Strahlenverlagerungsanordnung erzeugten Achsversatzes M und zeigt in dessen Richtung.

[0048] Eine jede der Linsen 5 und 7 umfasst ferner eine Stigmatorwicklung 37 zur Korrektur eines astigmatischen Abbildungsfehlers der Linse 5 bzw. 7 sowie eine dynamische Fokusspule 39, um einen Fokusfehler der Bildfeldwölbung der Linse 5 bzw. 7 zu korrigieren.

[0049] Die Strahlenverlagerungsanordnung 25 umfasst zwei bezüglich der Symmetrieebene 21 symmetrische Ablenkspulen 41 und 43 sowie eine auf der Symmetrieachse 21 angeordnete weitere dynamische Fokusspule 45.

[0050] Mögliche Ausführungsformen für Windungen der Ablenkspulen 31, 33, 41 und 43 sind in Fig. 3 schematisch dargestellt. Hierbei zeigt Fig. 3a die Ausführung von Windungen als Toroid-Spule, Fig. 3b die Ausführung als Sattel-Spule und Fig. 3c die Ausführung als Verbund-Sattel-Spule.

[0051] Wie aus Fig. 2 ersichtlich ist, ist radial innerhalb der Polenden 35 der Pole 17 der Linse 7 ein Stapel 49 aus neun Ferritringen 51 gleichen Durchmessers 51 äquidistant angeordnet. Radial innerhalb des Stapels 49 aus den Ferritringen 51 ist ein weiterer Stapel 53 aus ebenfalls neun Ferritringen 55 angeordnet, welche untereinander wiederum gleichen Durchmesser haben. Die Ferritringe 55 des inneren Satzes 53 weisen einen Innenradius Ri von 28 mm und einen Außenradius Ra von 32 mm auf.

[0052] Die Ablenkwicklungen 31 und 33 umgreifen hierbei die jeweils axial äußeren drei Ferritringe 55 des inneren Staples 53, während die Stigmatorwicklung 37 den in Axialrichtung mittleren Ferritring 55 des Staples 53 umgreift. Die dynamische Fokusspule 39 ist radial innerhalb des inneren Staples 53 aus Ferritringen 55 angeordnet. Axiale Mittelpunkte der Spulen 31, 33 weisen von einer Symmetrieebene 56 der Linse 7 jeweils einen axialen Abstand s von 23 mm auf; die axiale Länge der Spulen 31 und 33 beträgt ebenfalls jeweils 24 mm.

[0053] Die Verteilung der Windungen der Ablenkwicklungen 31 und 33 in Umfangsrichtung der Ferritringe 55 ist aus Fig. 4 ersichtlich.

[0054] Fig. 4a zeigt hierbei die Windungen, die zur Erzeugung eines in eine Y-Richtung gerichteten magnetischen Dipolfelds B_y dienen, und Fig. 4b zeigt Windungen, die zur Erzeugung eines hierzu orthogonalen Dipol-Feldes B_x dienen. In Fig. 4c ist die Kombination der in den Fig. 4a und 4b gezeigten Windungen auf den Ferritringen 55 dargestellt.

[0055] Um die beiden Linsen 5 und 7 möglichst symmetrisch zu gestalten, sind auch radial innerhalb von Polenden 35 der Linse 5 zwei in den Zeichnungen nicht dargestellte Stapel aus neun Ferritringen angeordnet, wie sie für die Linse 7 vorangehend erläutert wurden. Allerdings sind auf den radial inneren der beiden Stapel keine Ablenkspulen 31 und 33 gewickelt. Lediglich die Stigmatorspule 37 der Linse 5 ist auf den in Axialrichtung gesehen mittleren Ferritring des radial inneren Staples der Linse 5 gewickelt.

[0056] Die Anordnung der Wicklungen 41 und 43 der Strahlenverlagerungsanordnung 25 ist aus Fig. 8 im Detail ersichtlich. Die Strahlenverlagerungsanordnung 25 umfasst einen Satz 59 von 17 Ferritringen 61 gleichen Durchmessers, welche äquidistant in Axialrichtung und symmetrisch zur Symmetriearchse 21 angeordnet sind. Radial außerhalb eines jeden Ferritringes 61 ist ein Ferritring 63 größerem Durchmessers eines zweiten Satzes 65 von Ferritringen angeordnet. Die Ablenkspulen 41 und 43 sind hierbei auf Ferritringe 61 des radial inneren Satzes 59 gewickelt, wobei wiederum die in den Fig. 3a bis 3c dargestellten Windungsformen möglich sind. Die Verteilung in Umfangsrichtung um die Ferritringe 61 der Windungen entspricht wiederum der in der Fig. 4 dargestellten Anordnung. Die Windungen der Ablenkwicklungen 41 und 43 umgreifen dabei die von axial außen gesehen zweiten bis sechsten Ferritringe 61.

[0057] Radial innerhalb des Staples 59 von Ferritringen 61 ist die weitere Korrekturspule 45 angeordnet.

[0058] In Fig. 6 ist ein Funktionsdiagramm zur Ansteuerung der einzelnen Wicklungen der in Fig. 1 gezeigten Ablenkanordnung 1 erläutert. Die Wicklungen 15 der Linsen 5 und 7 des Doublets 3 werden mit einem konstanten Strom angesteuert, so dass eine jede der Linsen 5 und 7 eine Brennweite f von 180 mm für die Elektronen bereitstellt. Um die Ablenkung M des Elektronenstrahls aus der Symmetriearchse 19 zu erzielen, werden die Ablenkspulen 41 und 43 der Strahlenverlagerungsanordnung 25 mit einem Strom angesteuert, der einen Proportionalanteil 61 aufweist, welcher proportional zu der Auslenkung M ist. Die Proportionalitätskonstanten sind hierbei mit Cd1 und Cd2 bezeichnet.

[0059] Um einen dem Versatz M des Strahls 27 entsprechenden Versatz der optischen Achse der Linse 7 zu erzeugen, werden die Spulen 31 und 33 der Linse 7 ebenfalls mit einem Strom angesteuert, der einen Proportionalanteil 61 aufweist, wobei die entsprechenden Proportionalitätskonstanten mit Cd3 und Cd4 bezeichnet sind. Um Verzeichnungsfehler zu vermeiden, haben die den Ablenkwicklungen 41, 43, 31 und 33 zugeführten Ströme weiterhin einen kubischen Anteil 63.

[0060] Die den Korrekturspulen 39, 45 sowie den Stigma-

toren 37 zugeführten Ströme haben eine quadratische Abhängigkeit 65 von der Auslenkung M, wobei zugehörige Proportionalitätskonstanten mit Cf1, Cs1, Cf2, Cs2 und Cs3 bezeichnet sind.

[0061] Die Verhältnisse der Proportionalitätskonstanten Cd1, Cd2, Cd3 und Cd4 genügen bei idealer Einhaltung der Geometrie in der Fertigung der Anordnung vorzugsweise der Relation $|Cd1/Cd2| = |Cd3/Cd4| = 1$.

[0062] In Fig. 7 ist schematisch ein Beleuchtungssystem 69 für die Strahlformungsblende 11 dargestellt, welche durch das Doublett 3 aus den fokussierenden Linsen 5 und 7 als beleuchtetes Feld 16 auf die Maske 15 abgebildet wird. Das Beleuchtungssystem 69 umfasst eine Elektronenkanone 71 und eine fokussierende Magnetlinse 73, welche die von der Elektronenkanone 71 emittierten Elektronen so auf die Strahlformungsblende 11 lenkt, dass diese ausgeleuchtet ist.

[0063] Mit der beschriebenen Anordnung aus Linsen-Doppel 3, Strahlenverlagerungsanordnung 25 und Achsverlagerungseinrichtung 29 ist es möglich, die Strahlformungsblende 11 mit sehr geringen Verzeichnungen auf ein beleuchtetes Feld 16 auf der Maske 15 abzubilden, wobei das beleuchtete Feld 16 aus der Symmetriearchse 19 herausverlagerbar ist. Eine Flankensteilheit (Anstieg der Intensität von 20% auf 80%) an den Rändern des beleuchteten Feldes

16 von 0,2 μm kann erzielt werden. Insbesondere durchsetzt der abbildende Strahl 25, 27 sowohl die Feldformungsblende 11 als auch die Maske 15 senkrecht (Telezentrie).

[0064] Die Ringsätze 49, 53, 59 und 65 können beispielsweise folgendermaßen gefertigt werden:

30 Es wird zunächst die gewünschte Anzahl von Ferritringen gleicher Innen- und Außendurchmesser und gleicher axialer Höhe hergestellt. Sodann wird eine entsprechende Anzahl von Keramikringen mit dem Durchmesser der Ferritringe und untereinander gleicher axialer Länge hergestellt. Abwechselnd werden Ferritringe und Keramikringe zum Stapel zusammengefügt. Es ist günstig, wenn das für die Keramikringe verwendete Material einen hohen spezifischen elektrischen Widerstand und eine magnetische Permeabilität nahe 1 aufweist. Beispielsweise kann die von der Firma Corning 40 unter dem Markennamen Macor vertriebene Glaskeramik hierzu verwendet werden.

[0065] Im Folgenden werden Varianten der in den Fig. 1 bis 8 dargestellten Ablenkanordnung erläutert. Hinsichtlich ihres Aufbaus und ihrer Funktion einander entsprechende 45 Komponenten sind mit den Bezugsziffern aus den Fig. 1 bis 8 bezeichnet, zur Unterscheidung jedoch mit einem zusätzlichen Buchstaben versehen. Zur Erläuterung wird auf die gesamte vorangehende Beschreibung Bezug genommen.

[0066] Fig. 9 zeigt ein Magnetlinsen-Doublet 3b aus fokussierenden Magnetlinsen 5b und 7b. Das Doublet 36 dient dazu, eine in einer Objektebene 9b des Doublets 3b angeordnete Maske 15b auf einen in einer Bildebene 13b des Doublets angeordneten Halbleiter-Wafer 75 abzubilden. Für diese Abbildung wird ein Elektronenstrahl auf die Maske 15b gerichtet, wozu beispielsweise die in Fig. 1 gezeigte Anordnung verwendet werden kann, welche mittels einer Strahlformungsblende ein wohl definiertes Feld auf der Maske 15b beleuchtet. Der Elektronenstrahl wird bezüglich einer Symmetriearchse 19b ausgelenkt, um das beleuchtete Feld gleichförmig und in Streifen über die Maske 15b zu bewegen. In Fig. 9 ist der Strahlengang eines Zentralstrahls des beleuchteten Feldes für drei verschiedene Auslenkungsstellungen M dargestellt.

[0067] Das Doublet 3b bietet eine um den Faktor 1 : 4 verkleinernde Abbildung der Maske 15b auf dem Wafer 75. Hierzu sind die beiden Linsen 5b und 7b "symmetrisch" bezüglich einer Symmetrieebene 21b des Doublets 3b. Die Symmetrie ist hier nicht im streng geometrischen Sinne zu

verstehen, sondern unter Berücksichtigung der Verkleinerung 1 : 4, wobei auch die Größenverhältnisse der beiden Linsen 5b und 7b sowie deren Abstände zu der Symmetrieebene 21b wie 1 : 4 skalieren.

[0068] Zwischen den beiden Linsen 5b und 7b sind ferner zwei Ablenker 74 vorgesehen, die die Führung des Strahls in den in Fig. 9 gezeigten Strahlengang unterstützen. 5

[0069] In der Symmetrieebene 21b, an welcher ein Cross-Over-Punkt des Doublets 3b gebildet ist, ist ferner eine Lochblende 76 angeordnet, so dass von der Maske 15b nur diejenigen Elektronen auf den Wafer 75 gelangen, welche von der Maske im Wesentlichen nicht gestreut wurden. So- mit werden auf der Maske 15b als streuende Strukturen bereitgestellte Muster auf den Wafer 75 übertragen. 10

[0070] Da die Elektronenstrahlen um den Betrag M ver- setzt zur Symmetriearchse 19b in die Linse 5b eintreten, weist diese eine Achsverlagerungseinrichtung 29b mit zwei Achsverlagerungswicklungen 31b und 33b auf, so dass die optische Achse der Linse 5b derart aus der Symmetrieebene 19b herausverlagerter wird, dass der Zentralstrahl des be- leuchteten Feldes beim Durchtritt durch die Linse 5b mit der optischen Achse der Linse 5b zusammenfällt. Hierdurch bleibt die fokussierende Wirkung der Linse 5b auf die Teilstrahlen des beleuchteten Feldes erhalten, wobei allerdings aufgrund der Verlagerung der Strahlen aus der Symmetriearchse 19b hervorgerufende Aberrationen unterdrückt werden. 15

[0071] Aufgrund der verkleinernden Abbildung des Doublets 3b treffen Strahlen, die in der Maskenebene 15b um den Betrag M von der Symmetriearchse 19b ausgelenkt sind, mit einer Auslenkung M:4 auf den Wafer 75. Somit durch- setzen die Strahlen auch die Linse 7b des Doublets nicht zentral, und auch die Linse 7b weist eine Achsverlagerungs- einrichtung 29b mit zwei Achsverlagerungswicklungen 31b und 33b auf, um die optische Achse der Linse 7b so aus der Symmetriearchse 19b herauszuverlagern, dass diese mit den Zentralstrahlen der ausgelenkten Strahlenbündel zusam- menfällt. 20

Patentansprüche

40

1. Magnetlinsenanordnung zur Bereitstellung eines magnetischen Ablenfelds für einen Strahl geladener Teilchen, umfassend:

eine Fokussierlinseneinrichtung (15, 17) zur Bereitstel- 45

lung eines zu einer Symmetriearchse (19) der Anord- 50

nung im wesentlichen rotationssymmetrischen Mag- 55

netaufbaus, welches auf den dieses Magnetfeld durchset- 60

zenden Strahl die Wirkung einer fokussierenden Linse 65

(7) mit einer optischen Achse hat, und

eine Achsverlagerungseinrichtung (31, 33) zur Erzeu- 70

gung eines dem von der Fokussierlinseneinrichtung 75

(15, 17) bereitgestellten Magnetfeld überlagerbaren 80

Korrekturmagnetfelds mit einer Wicklung auf den Strahl 85

derart, dass die optische Achse parallel zu der Sym- 90

metriearchse (19) der Anordnung verlagerbar ist, 95

dadurch gekennzeichnet, dass die Achsverlagerungs- 100

einrichtung (29) einen ersten Satz (53) von konzen- 105

trisch zu der Symmetriearchse und mit axialem Abstand 110

voneinander angeordneten Ringen (55) aus einem elek- 115

trisch im wesentlichen nichtleitenden Material hoher 120

magnetischer Permeabilität umfasst, wobei wenigstens 125

eine Achsverlagerungswicklung (31, 33) mit einer 130

Mehrzahl von Stromleiterwindungen zur Erzeugung 135

des Korrekturmagnetfelds vorgesehen ist, und wobei 140

die Stromleiterwindungen der Achsverlagerungswick- 145

lung (31, 33) wenigstens einen der Ringe (55) des 150

ersten Ringsatzes (53) umgreifen. 155

2. Magnetlinsenanordnung nach Anspruch 1, wobei eine zur Symmetriearchse transversale Komponente des Korrekturmagnetfelds entlang der Symmetriearchse einen Verlauf aufweist, der jeweils angenähert proportional ist zu einer ersten Ableitung einer zur Symmetriearchse parallelen Komponente des von der Fokussierlinseneinrichtung bereitgestellten Magnetfelds entlang der Symmetriearchse. 160

3. Magnetlinsenanordnung nach Anspruch 1 oder 2, wobei die Fokussierlinseneinrichtung (15, 17) zwei mit axialem Abstand voneinander angeordnete und zur Symmetriearchse hinweisende Polenden (35) aufweist und wobei die Achsverlagerungseinrichtung (25) ei- 165

>

nem jeden Polende (35) zugeordnet eine zwischen Po- 170

lende und Symmetriearchse angeordnete Achsverlage- 175

>

rwicklung (31, 33) aufweist. 180

4. Magnetlinsenanordnung nach Anspruch 3, wobei 185

einem jeden Polende (35) eine einzige Achsverlage- 190

>

rwicklung (31, 33) zugeordnet ist. 195

5. Magnetlinsenanordnung nach Anspruch 3 oder 4, 200

>

wobei die Achsverlagerungswicklung (31, 33) einen 205

oder mehrere Ringe (55) des ersten Ringsatzes (53) umgreift. 210

6. Magnetlinsenanordnung nach einem der Ansprüche 215

>

1 bis 5, wobei radial ausserhalb der von der Achsverla- 220

>

gegengesetzten Achsverlagerungswicklung (31, 33) um- 225

griffenen Ringe (55) des ersten Ringsatzes (53) eine 230

>

Mehrzahl von Ringen (51) eines zweiten Ringsatzes (49) aus konzentrisch zu der Symmetriearchse und mit axialem Abstand voneinander angeordneten Ringen aus elektrisch im wesentlichen nichtleitendem Material hoher magnetischer Permeabi- 235

>

lität vorgesehen ist. 240

7. Magnetlinsenanordnung nach einem der Ansprüche 245

>

1 bis 6, ferner umfassend wenigstens eine Stigmator- 250

>

wicklung (37) mit mehreren Stromleiterwindungen, 255

welche wenigstens einen der Ringe (55, 51) des ersten 260

>

oder/und des zweiten Ringsatzes (53, 49) umgreifen. 265

8. Magnetlinsenanordnung nach Anspruch 7, wobei 270

>

eine zwischen der Stigmatorwicklung (37) und der 275

Symmetriearchse angeordnete dynamische Fokusspule 280

>

(39) vorgesehen ist. 285

9. Magnetlinsenanordnung nach einem der Ansprüche 290

>

1 bis 7, wobei eine radial innerhalb der Ringe (55) des 295

>

ersten Ringsatzes (53) angeordnete dynamische Fokus- 300

>

spule (39) vorgesehen ist. 305

10. Ablenkanordnung zur teilchenoptischen Abbil- 310

>

dung eines ersten Querschnitts (11) eines Strahls geladener Teilchen in einer ersten Ebene (9) in einen zweiten Querschnitt des Strahls in einer zweiten Ebene (13), 315

>

umfassend:

ein Magnetlinsen-Doppeltritt (3) mit einer zwischen der ersten und der zweiten Ebene angeordneten ersten Fokussierlinse (5) und einer zwischen der ersten Fokussierlinse (5) und der zweiten Ebene (13) angeordneten zweiten Fokussierlinse (7), wobei die erste und die zweite Fokussierlinse auf einer gemeinsamen Symmetriearchse (19) angeordnet sind, wobei eine Symmetrieebene (21) des Doublets (3) zwischen der ersten und der zweiten Fokussierlinse angeordnet ist, wobei ein Abstand zwischen der ersten Ebene (9) und der Symmetrieebene (21) der doppelten Brennweite (f) der ersten Fokussierlinse (5) entspricht, und wobei ein Ab- 320

>

stand zwischen der zweiten Ebene (13) und der Symmetrieebene (21) der doppelten Brennweite (f) der zweiten Fokussierlinse (7) entspricht, und

eine zwischen der ersten und der zweiten Fokussierlinse angeordnete von dem Strahl durchsetzte Strahl- 325

>

verlagerungsanordnung (25) zur Erzeugung eines ein- 330

stellbaren axialen Versatzes (M) zwischen dem in die Strahlverlagerungsanordnung (25) eintretenden und dem aus dieser austretenden Strahl, wobei die erste oder/und die zweite Fokussierlinse eine Achsversatzeinrichtung zur Bereitstellung eines dem von der Fokussierlinse (5, 7) bereitgestellten Magnetfeld überlagerbaren Korrektur-Magnetfelds mit einer Wirkung auf den Strahl derart aufweist, dass eine optische Achse der Fokussierlinse parallel zu deren Symmetriearchse (19) verlagerbar ist.

11. Ablenkanordnung nach Anspruch 10, wobei die Strahlverlagerungsanordnung (25) zwei bezüglich der Symmetrieebene symmetrisch angeordnete Ablenkeinheiten (41, 43) zur Bereitstellung jeweils eines Ablenk-Magnetfelds umfasst.

12. Ablenkanordnung nach Anspruch 11, wobei das Ablenk-Magnetfeld durch eine Ablenk-Wicklung (41) mit einer Mehrzahl von Stromleiterwindungen erzeugt ist, welche wenigstens einen konzentrisch zu der Symmetriearchse (19) angeordneten Ring (61) aus einem elektrisch im wesentlichen nichtleitenden Material hoher magnetischer Permeabilität umgreift.

13. Ablenkanordnung nach Anspruch 12, wobei ein dritter Satz (59) von konzentrisch zu der Symmetriearchse (19) und mit axialem Abstand voneinander angeordneten Ringen (61) aus dem elektrisch im wesentlichen nichtleitenden Material hoher magnetischer Permeabilität vorgesehen ist, wobei die Stromleiterwindungen der Ablenk-Wicklung (41) wenigstens einen der Ringe (61) des dritten Ringsatzes (59) umgreifen.

14. Ablenkanordnung nach Anspruch 13, wobei radial ausserhalb der von der Ablenk-Wicklung (41) umgriffenen Ringe (61) des dritten Ringsatzes (59) eine Magnetfeldabschirmung vorgesehen ist, die ein elektrisch im wesentlichen nichtleitendes Material hoher magnetischer Permeabilität umfasst.

15. Ablenkanordnung nach Anspruch 14, wobei die Magnetfeldabschirmung einen in Axialrichtung durchgehenden Zylinder oder eine Mehrzahl von konzentrisch zu der Symmetriearchse (19) und mit axialem Abstand voneinander angeordneten Ringen (63) eines vierten Ringsatzes (65) aus elektrisch im wesentlichen nichtleitendem Material hoher magnetischer Permeabilität umfasst.

16. Ablenkanordnung nach einem der Ansprüche 10 bis 15, wobei die erste oder/und die zweite Fokussierlinse (5, 7) eine Magnetlinsenanordnung nach einem der Ansprüche 1 bis 7 aufweist.

17. Projektionssystem zur Übertragung eines auf einer Maske definierten Musters mittels eines Strahls geladener Teilchen auf ein teilchenempfindliches Substrat, umfassen:

eine Quelle geladener Teilchen,
eine Strahlformungsblende zur Formung eines Querschnitts des Teilchenstrahls,
eine erste teilchenoptische Abbildungsvorrichtung zum Abbilden der Strahlformungsblende auf die Maske,
eine zweite teilchenoptische Abbildungsvorrichtung zum Abbilden der Maske auf das Substrat,
wobei die erste oder/und die zweite teilchenoptische Abbildungsvorrichtung eine Magnetlinsenanordnung nach einem der Ansprüche 1 bis 9 aufweisen.

18. Projektionssystem zur Übertragung eines auf einer Maske definierten Musters mittels eines Strahls geladener Teilchen auf eine teilchenempfindliches Substrat, umfassen:

eine Quelle geladener Teilchen,
eine Strahlformungsblende zur Formung eines Quer-

5

10

15

20

25

30

35

40

45

55

60

65

schnitts des Teilchenstrahls,
eine erste teilchenoptische Abbildungsvorrichtung zum Abbilden der Strahlformungsblende auf die Maske,
eine zweite teilchenoptische Abbildungsvorrichtung zum Abbilden der Maske auf das Substrat,
wobei die erste oder/und die zweite teilchenoptische Abbildungsvorrichtung eine Ablenkanordnung nach einem der Ansprüche 10 bis 15 aufweist.

19. Projektionssystem nach Anspruch 18, wobei die Strahlformungsblende in der ersten Ebene des Magnetlinsen-Doublets angeordnet ist und die Maske in der zweiten Ebene des Magnetlinsen-Doublets angeordnet ist.

20. Projektionssystem nach Anspruch 18, wobei die Maske in der ersten Ebene des Magnetlinsen-Doublets angeordnet ist und das Substrat in der zweiten Ebene des Magnetlinsen-Doublets angeordnet ist.

Hierzu 8 Seite(n) Zeichnungen

- Leerseite -

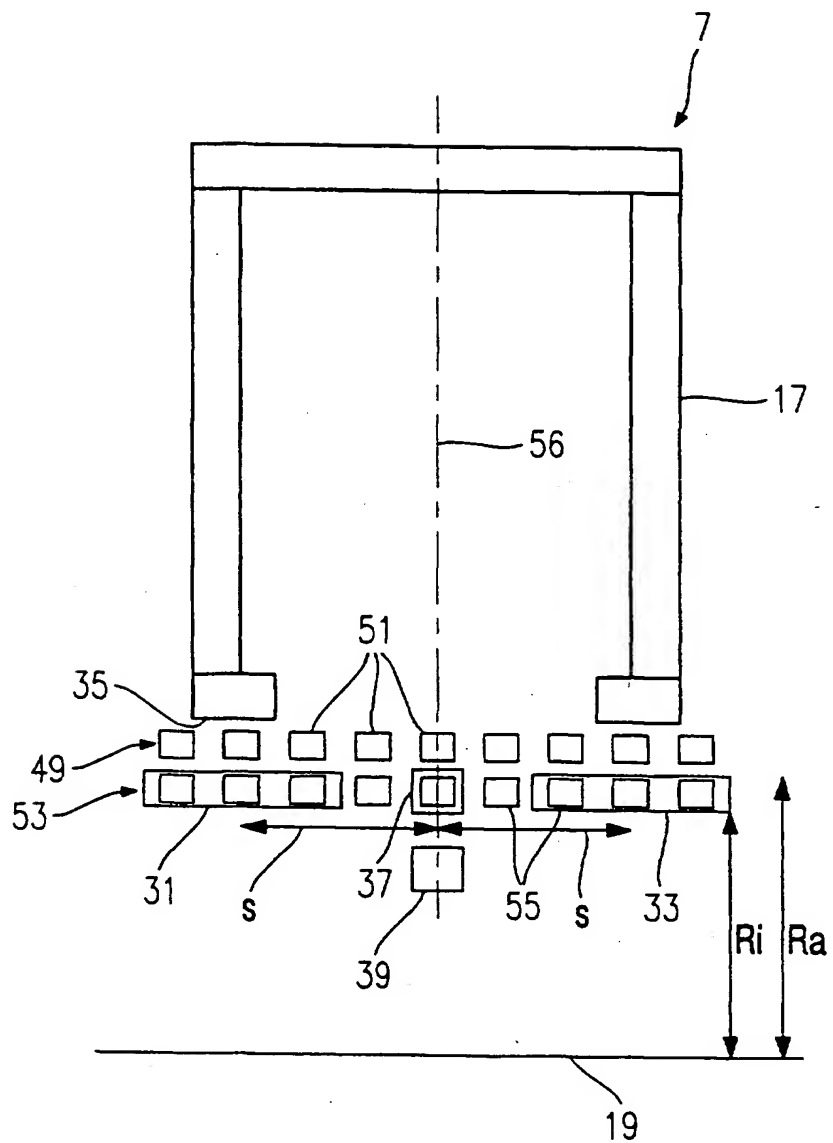


Fig. 2

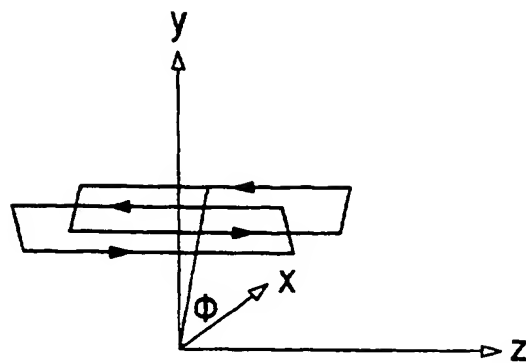


Fig. 3a

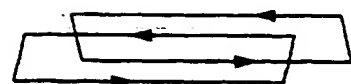


Fig. 3b

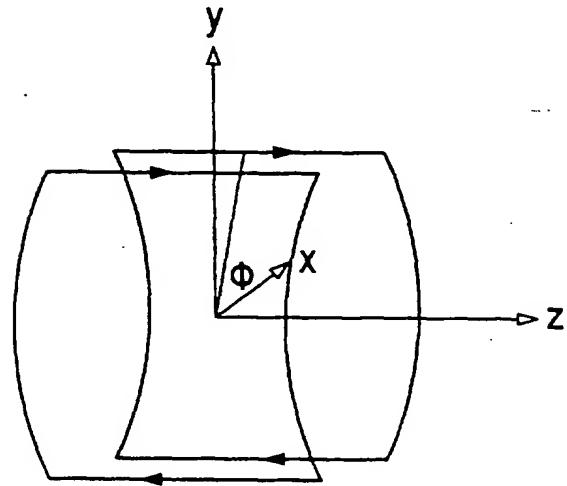
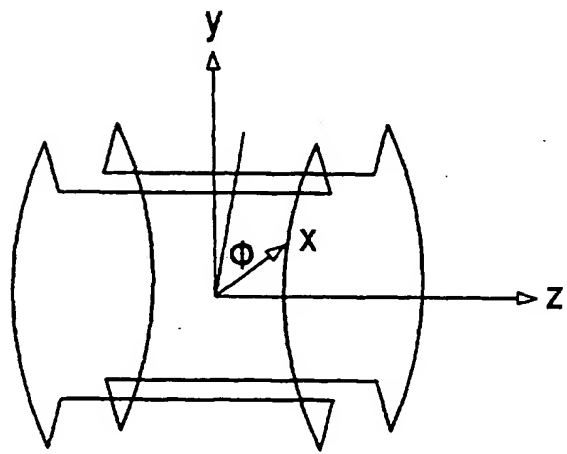


Fig. 3c



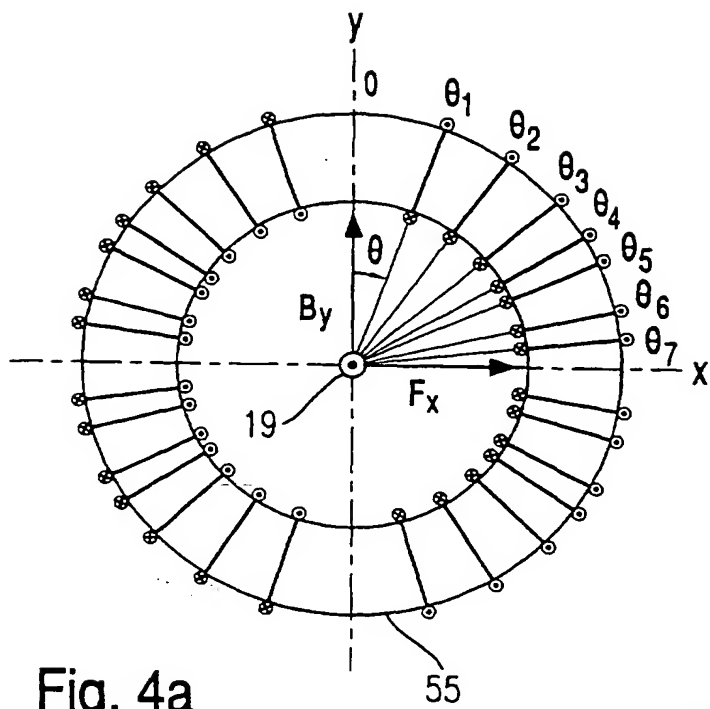


Fig. 4a

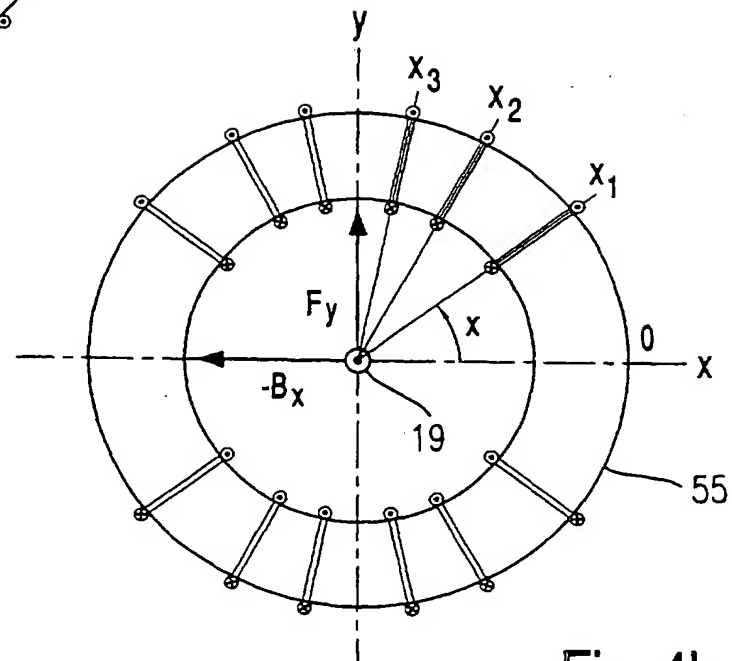


Fig. 4b

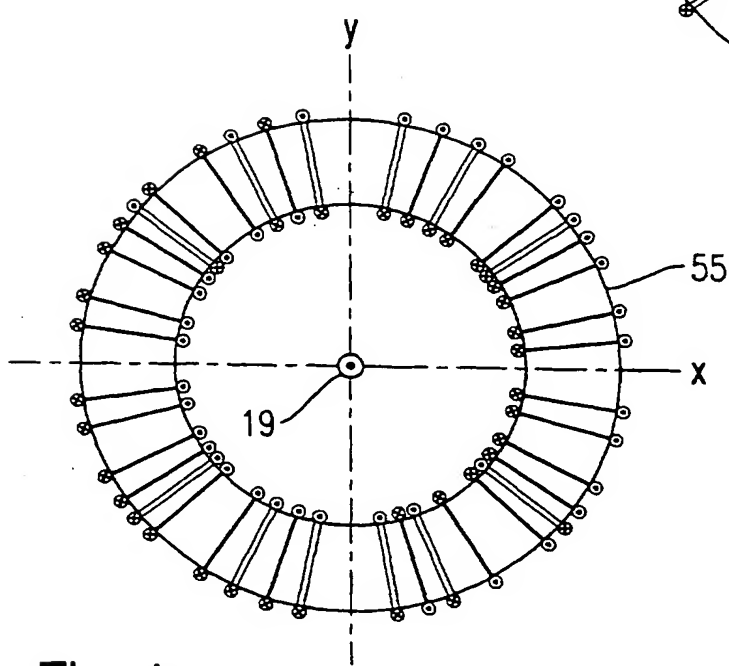


Fig. 4c

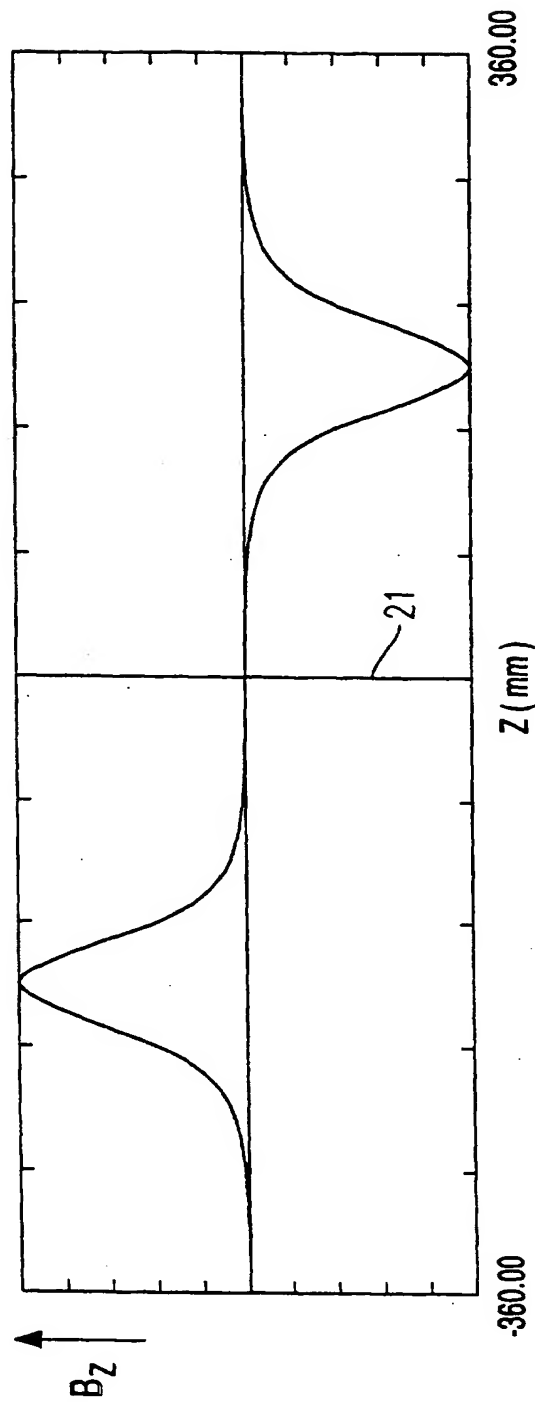


Fig. 5

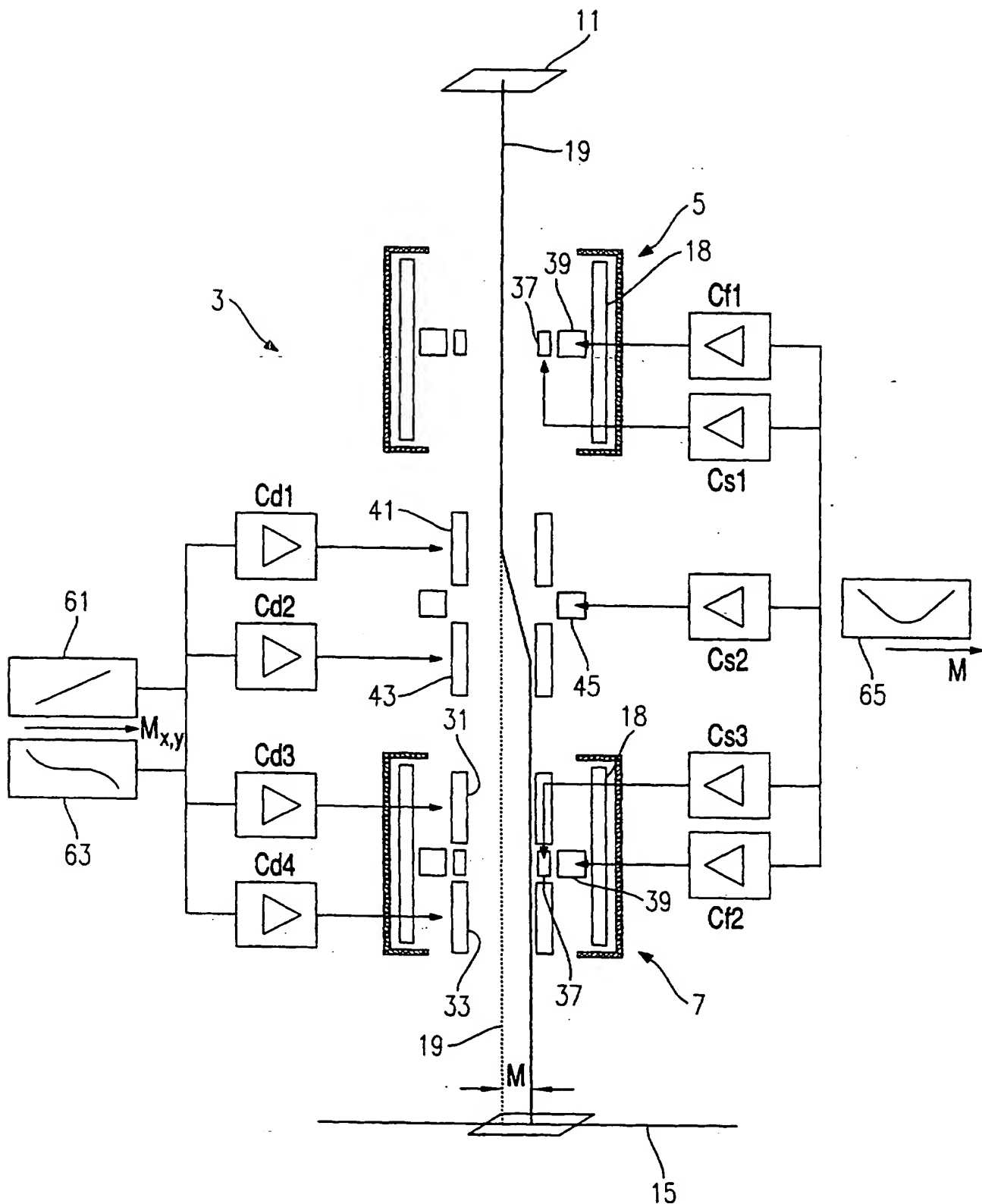


Fig. 6

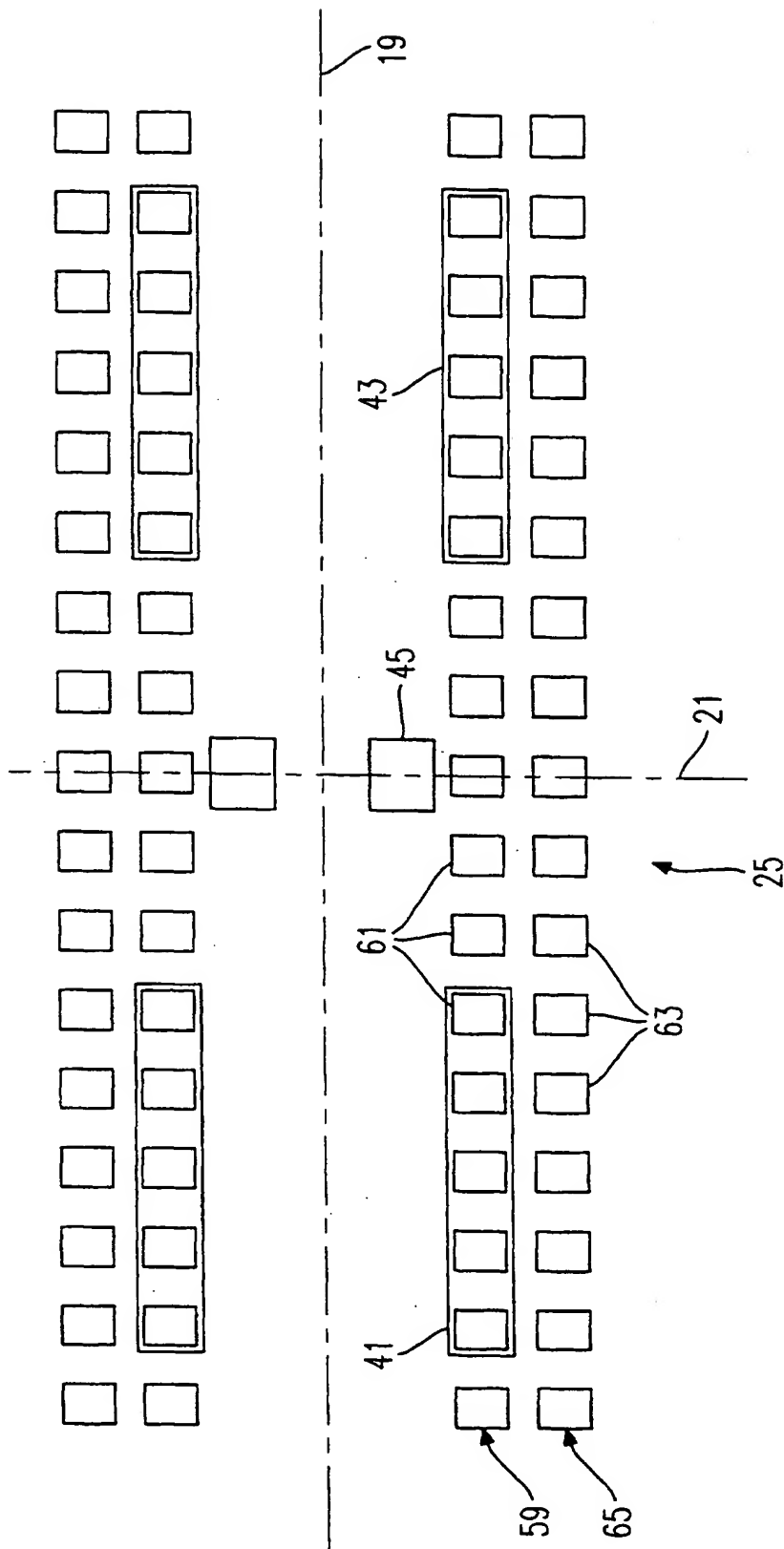


Fig. 8

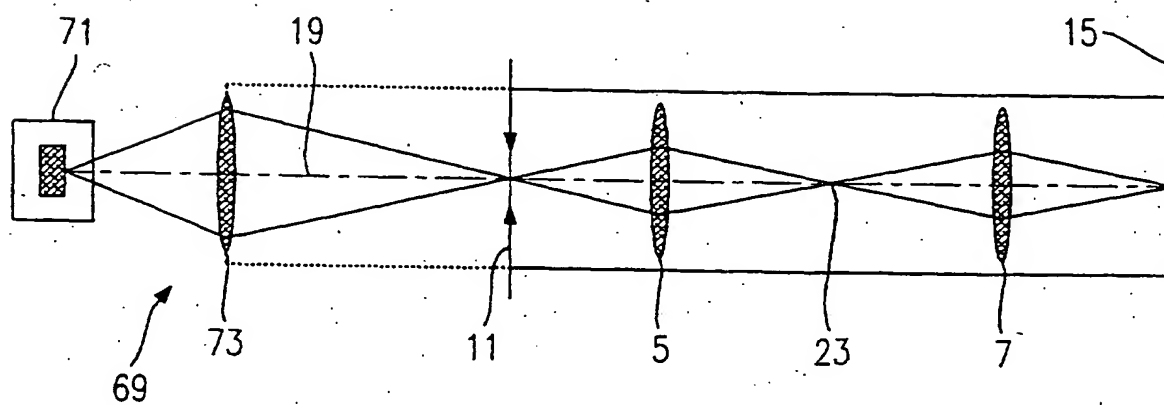
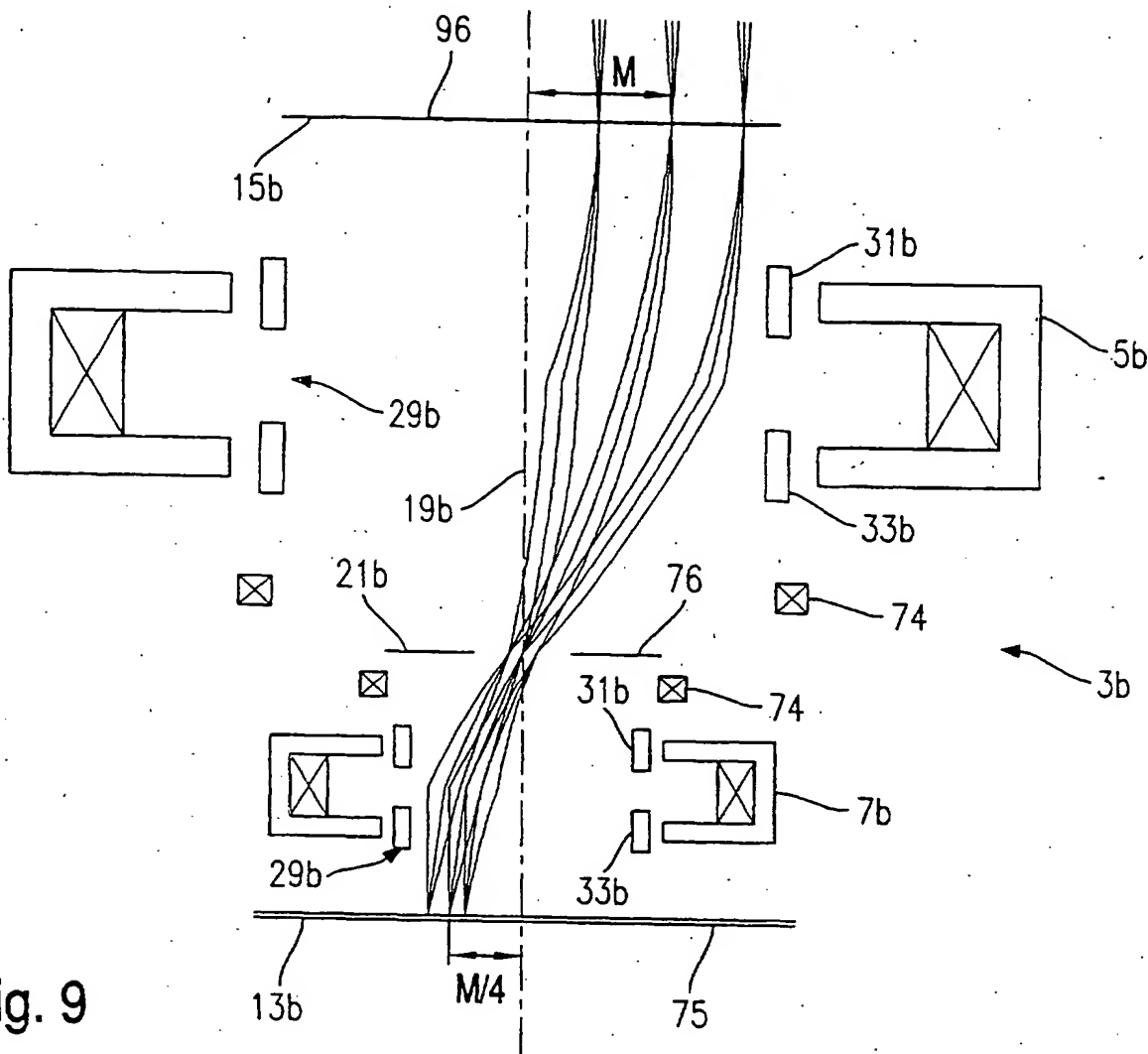


Fig. 7

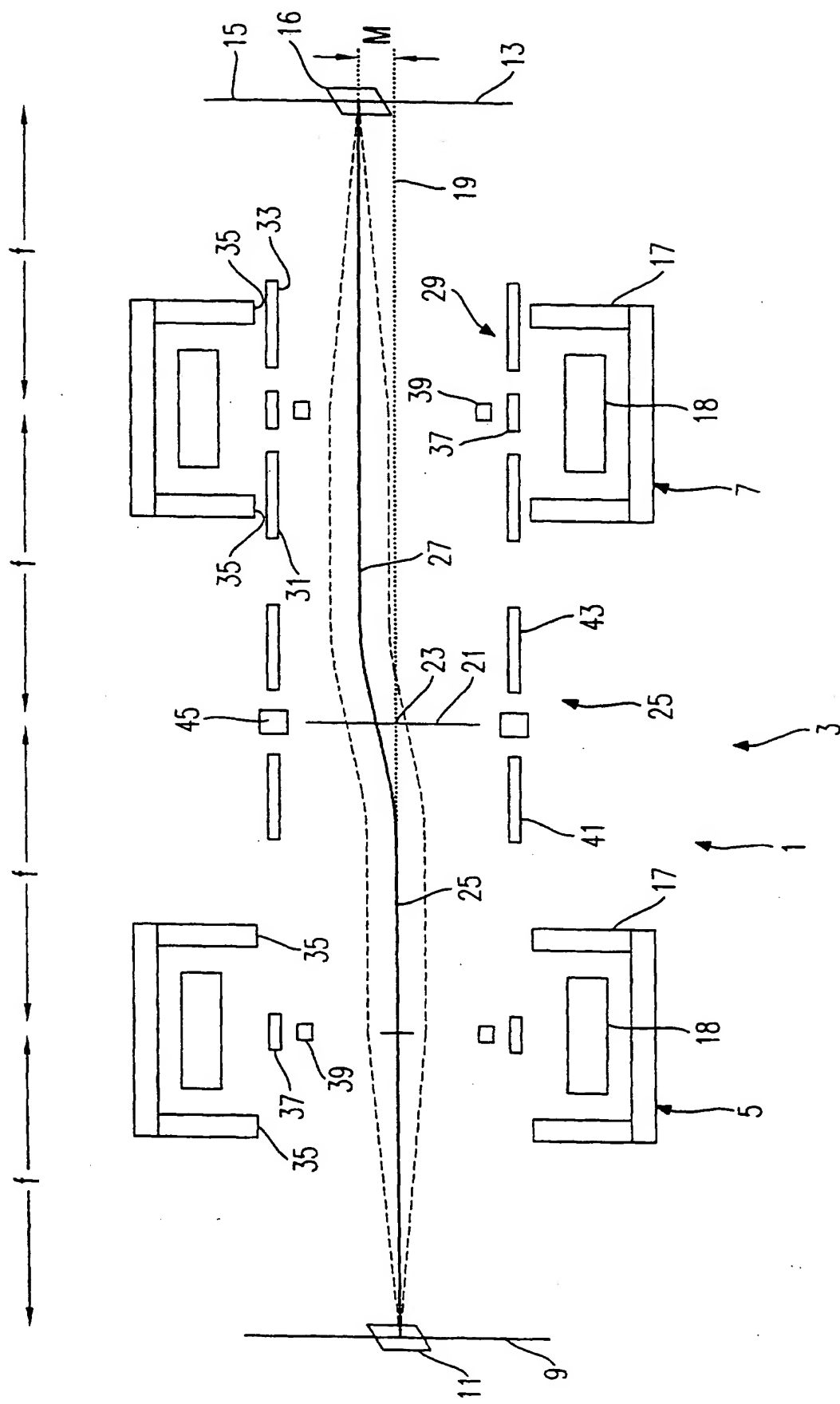


Fig. 1